

مدلسازی رفتار غیر الاستیک نانوتیوبهای کربنی توسط مکانیک محیط پیوسته

علیرضا چابکی خیابانیⁱ; سید امیرالدین صدرنژادⁱⁱ; محمود یحیاییⁱⁱⁱ

چکیده

بر اساس نتایج آزمایشات بارگذاری بر روی نانوتیوبهای کربنی و کامپوزیتهای آن، شکل پذیری و جذب انرژی قابل توجهی در ورای حد الاستیک در این نانوسازه ها دیده شده است. با توجه به محدودیتهای محاسباتی روش‌های تحلیلی (نظیر دینامیک مولکولی و مکانیک کوانتومی) برای شبیه سازی این رفتار، در این مقاله از روش مدلسازی مکانیک محیط پیوسته در قالب روش اجزای محدود استفاده شده است. به این صورت که ابتدا چگونگی بروز رفتار غیرالاستیک در نانوتیوبها و سپس شیوه های مدلسازی در این اندازه و اعتبار آنها در قالب روش‌های مکانیک محیط پیوسته بررسی شده است. سپس رفتار غیر الاستیک نانوتیوبها به دو روش تحلیلی و عددی (بر پایه مدل الاستو-پلاستیک) و برای سنجش میزان دقت، نتایج هر دو مدل با نتایج آزمایشگاهی و روش دینامیک مولکولی مقایسه شده است. در پایان نیز محدودیتها و امکانات این روش مورد بررسی قرار گرفت.

کلمات کلیدی

نانوتیوب، محیط پیوسته، الاستیک، غیر الاستیک، استون-والس

Modeling of Non-elastic behavior of Carbon Nanotubes upon Continuum Mechanics

A. Chaboki K.; S. A. Sadrnejad; M. Yahayei

ABSTRACT

As experiments show, there is nonlinear behavior of carbon nanotubes after exceeding a certain boundary surface while loading continues. Avoiding being involved in molecular dynamics methods and quantum mechanics approach, a continuum macro mechanics based method is employed to predict the nonlinear behavior of bonding forces in carbon nanotubes. Both analytical and numerical approaches, assuming elasto-plastic behavior of tubes are considered in this research. The presented results are well compared with the test as well as molecular dynamics results. Finally, the limitation and advantages of the proposed method are pointed out.

KEYWORDS

Nanotube, Continuum, Elastic, Inelastic, Stone-Wales

تاریخ دریافت مقاله: ۱۳۸۶/۷/۳۰

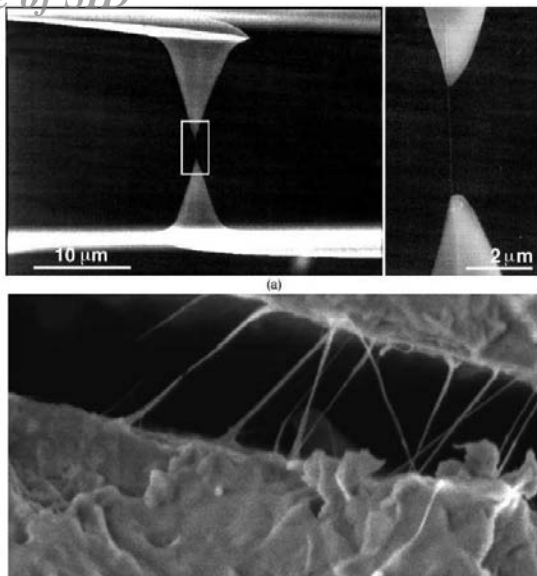
تاریخ اصلاحات مقاله: ۱۳۸۷/۴/۱

ⁱ نویسنده مسئول و استادیار گروه مهندسی عمران دانشکده فنی، دانشگاه کردستان Email: a.chaboki@uok.ac.ir

ⁱⁱ استاد تمام دانشکده مهندسی عمران، دانشگاه صنعتی خواجه نصیرالدین طوسی Email: sadrnejad@kntu.ac.ir

ⁱⁱⁱ استادیار دانشکده مهندسی عمران، دانشگاه صنعتی خواجه نصیرالدین طوسی Email: m_yahyaei@kntu.ac.ir

۱- مقدمه



شکل (۱): (بالا چپ و راست) گسیختگی کششی نانوتیوب در آزمایش کشش ساده [۵] (پایین) گسیختگی کششی نانوتیوب در کامپوزیت سیمان [۱۵]

با توجه به اهمیت کاربرد کامپوزیتهای نانوتیوب و ضرورت تبیین مدل رفتاری مناسب برای این مواد، در این مقاله تلاش شده است که چگونگی بروز رفتار غیر الاستیک و توسعه آن در این مواد، توسط روش‌های مکانیک محیط پیوسته شبیه سازی و بررسی شود.

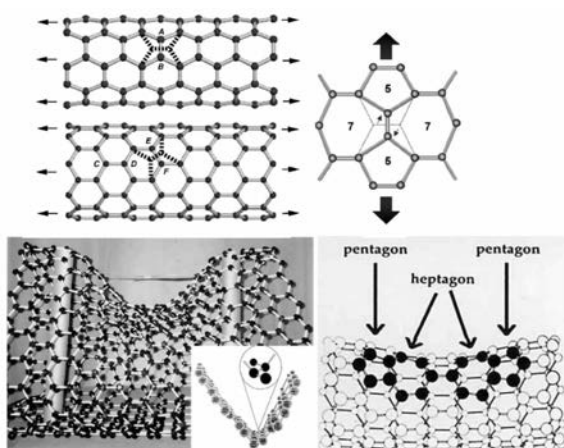
۲- سوابق مطالعاتی

طی چند سالی که از کشف نانوتیوبهای کربنی می‌گذرد، تحقیقاتی در زمینه مدل‌سازی رفتار غیر الاستیک نانوتیوبها انجام شده است که شامل بدست آوردن کرنش نهایی الاستیک و گسیختگی، محاسبه انرژی مورد نیاز برای گسیختگی پیوندها و میزان شکل پذیری این مواد توسط روش‌های دینامیک مولکولی و مکانیک کواتومی انجام شده است. طی نخستین گام، در سال ۱۹۹۷ یاکوبسن رفتار کششی نانوتیوبهای تک جداره را توسط روش دینامیک مولکولی و با استفاده ازتابع پتانسیل بزن(Brenner) ۱۹۹۰ شیوه سازی نمود و نتیجه گیری کرد که قبل از پارگی پیوندها و تشکیل عیب (استون - والس) در جداره این ماده، کرنش مشخصی وجود دارد که در تمام جداره نانوتیوب یکنواخت بوده و در درای این کرنش، پارگی پیوند در جداره محتمل است. وی کرنش نهایی نانوتیوب را بسته به نوع آن بین ۲۵ تا ۵۵ دزصد تخمین زد [۸]-[۶]. پس از آن نیز سایر محققان بوسیله روش‌های گوناگون به بررسی مرز رفتار

نانوتیوبهای کربنی با وجود استحکام فوق العاده، بسیار شکل پذیر بوده و در بارگذاریهای مقاومت، دامنه رفتاری الاستیک مناسبی را به نمایش می‌گذارند. به گونه‌ای که کرنش بیشینه الاستیک آنها، چند ده برابر مواد مهندسی نظری فولاد گزارش شده است [۱]. اما در صورت بارگذاری بیش از حد الاستیک (این حد در ادامه توضیح داده می‌شود) بر این نانوسازه‌ها، تغییراتی برگشت ناپذیر در ساختار منظم اتمی آنها روی می‌دهد. در صورت ادامه بارگذاری، این تغییرات در ساختار اتمی تا گسیختگی ادامه یافته که با افزایش تغییر شکل و کاهش قابل ملاحظه سختی همراه است [۲]. رمز شکل پذیری قابل توجه نانوتیوبهای کربنی، در گسیختگی پیوندها و ایجاد پیوندهای جدید بین اتمهای آنها نهفته است [۳].

به علت تفاوت چشمگیر سختی نانوتیوب و سختی ماده پایه (ماتریس) در کامپوزیتهای این ماده، بار و تنش زیادی به نانوتیوب وارد می‌شود. این امر در موارد زیادی موجب رفتار غیر الاستیک در نانوتیوبها در کشش، فشار و یا بارهای ترکیبی می‌گردد [۴]. تصاویر میکروسکوپ الکترونی از نانوتیوبهای تحت اثر بار نیز بیانگر این واقعیت است که که این نانوسازه‌ها نیز شبیه به سازه‌های مهندسی در بارهای کششی و برشی جاری شده و در پایان گسیخته می‌گردند به علاوه کمانش نیز در اثر بارهای فشاری گزارش شده است [۴] و [۵]. در شکل شماره ۱ علاوه بر گسیختگی نانوتیوب منفرد، گسیختگی نانوتیوب مدفون در کامپوزیت تحت بارهای کششی نیز نشان داده شده است.

بر اساس آزمایشات و نیز مطالعات تئوریک، ثابت شده است که رفتار غیر الاستیک نانوتیوبها به نوع بارگذاری، ساختار داخلی، دمای محیط، نرخ کرنش و میزان پخش عیوب در ساختار داخلی بستگی دارد.



شکل ۲: چگونگی تشکیل سلولهای ۵ و ۷ ضلعی (استون-والس) در
در انواع نانو تیوب [۳]-[۶]

طی این فرایند، چهار سلول شش ضلعی مورد تاثیر قرار گرفته و به صورت دو زوج سلول پنج و هفت ضلعی تغییر شکل می‌دهند. با افزایش بارگذاری، فرایند گسترش پیوندها و ایجاد پیوندهای جدید گسترش می‌یابد.

۴- مدلسازی رفتار غیر الاستیک در محیط پیوسته

گرچه مدلسازی در محیط پیوسته برای یک سازه در مقیاس نانو، در مقایسه با روش‌های مکانیک کوانتومی و دینامیک مولکولی امکانات کمتری را فراهم می‌آورد. ولی تنها روش ممکن برای مدلسازی نانوکریستالها، نانوکامپوزیتهاست که به علت تعداد زیاد آنها، امکان مدلسازی رفتار تک اتمهای آن میسر نیست. بر این اساس، برای مدلسازی رفتار غیر الاستیک نانوتیوب‌های تک جداره در قالب مکانیک محیط پیوسته، در این مقاله دو روش تحلیلی و روش مدل الاستیک پلاستیک به کار گرفته شده است.

در روش تحلیلی با فرض تابع پتانسیل در قالب محیط پیوسته و اعمال شرایط مرزی بر آن، شرایط رفتار الاستیک و پایدار بودن رفتار بدست آمده و کرنش متناظر آن محاسبه می‌گردد. در این مقاله از تابع پتانسیل تغییر یافته مورس استفاده شده و نتایج با نتایج ژانگ [۱۲] برگرفته از تابع پتانسیل برنز، مقایسه شده است. در روش مدل الاستیک پلاستیک، ابتدا با استفاده از روش مکانیک شکست، کرنش پلاستیک حدی محاسبه شده، سپس پارامترهای مدل با استفاده از روش انرژی بدست می‌آیند.

داده شده است.

الاستیک و غیر الاستیک در این مواد پرداختند. زائو در سال ۲۰۰۱ با استفاده از روش دینامیک مولکولی، مرز کرنش الاستیک را ۷ الی ۱۰/۵ درصد برآورد کرد [۹]. ناردللی در سال ۲۰۰۲، این کرنش را ۶٪ تخمین زد [۱۰]. در تحقیقی که بلیچکو (۲۰۰۲) با استفاده ازتابع پتانسیل مورس انجام داد، این کرنش ۱۰ الی ۱۶ درصد برآورد شده است [۱۱]. در چند سال اخیر، از روش‌های مکانیک شکست که بر پایه روش انرژی در این رابطه استفاده شده است. (زیلینگ و یاکوبسن [۱۲]) در توجیه اختلاف نتایج یاد شده می‌توان به عوامل تعداد لایه‌های جداره، قطر، ساختار داخلی، دما و نیز نرخ کرنش اشاره کرد.

۳- مرز رفتار الاستیک و غیر الاستیک در نانوتیوبها

بر اساس قانون کوشی-بورن می‌توان انرژی یک سازه در مقیاس نانو را با سیستم معادل آن در محیط پیوسته ارتباط داد و سپس این سیستم معادل محیط پیوسته را در مدلسازی رفتار نانوتیوبها به کار برد.

با توجه به اعتبار قانون کوشی-بورن در تمامی محدوده رفتاری مواد نانو مقیاس، از همین روش می‌توان در شبیه‌سازی رفتار غیر الاستیک نانوتیوبها یاری جست.

در سازه‌های مهندسی، برگشت پذیری به عنوان مرز رفتار الاستیک و غیر الاستیک تعریف می‌شود. به عبارت دیگر اگر در فرایند بارگذاری و باربرداری، تغییری در ساختار ماده صورت پذیرد که تغییر شکلهای ماندگار را در آن ایجاد کند، رفتار به صورت غیر الاستیک تعریف می‌شود. علت این فرایند، ایجاد و گسترش عیوب در ساختار ماده است. شیوه و سرعت گسترش این عیوب ایجاد حفرات و ترکها، سبب بروز رفتار شکل پذیر و یا ترد در ماده می‌گردد.

در ساختارهای اتمی در مقیاس نانو نظری نانوتیوبها، رفتار مکانیکی بر پایه پیوندهای اتمی و مولکولی بین واحدهای در بر گرفته تعریف می‌شود که از نوع کوالانس و یا واندروالس هستند. با افزایش بارگذاری و تغییر شکل، پیوندها گسیخته شده و پیوندهای جدیدی ایجاد می‌گردند. مرز رفتار الاستیک و غیر الاستیک در مواد نانو مقیاس، با گسترش پیوندها و ایجاد پیوندهای جدید تعریف می‌شود. طی گسترش پیوند، انرژی آزاد شده و در صورت ایجاد پیوند جدید، انرژی مصرف می‌شود که تفاضل این دو از یکدیگر، انرژی تلف شده در سیستم است. این فرایند موجب کاهش سختی سازه اتمی شده و تغییر شکل سازه افزایش می‌یابد. رایج ترین تغییر هندسه پیوند در ساختار مولکول شش ضلعی نانوتیوب، فرایند تشکیل عیب استون-والس است. چگونگی ایجاد این عیب در شکل شماره ۲ نشان

شکل در رابطه، سه معادله دیفرانسیل شماره ۵ بدست می‌آید:

$$\begin{aligned} & (\sigma_{zz} \frac{\partial^2}{\partial Z^2} - \frac{1}{R^2} K_{\theta\theta\theta\theta} F_{\theta\theta}^2) \dot{U}_R - \frac{1}{R^2} K_{\theta\theta\theta\theta} F_{\theta\theta}^2 \frac{\partial \dot{U}_\theta}{\partial \theta} - \\ & - \frac{1}{R} K_{\theta\theta ZZ} F_{\theta\theta} F_{ZZ} \frac{\partial \dot{U}_Z}{\partial Z} = 0 \quad (5) \\ & \frac{1}{R} K_{\theta\theta ZZ} F_{\theta\theta} F_{ZZ} \frac{\partial \dot{U}_R}{\partial Z} + \frac{1}{R} (K_{\theta\theta ZZ} + K_{\theta Z \theta Z}) F_{\theta\theta} F_{ZZ} \frac{\partial^2 \dot{U}_\theta}{\partial \theta \partial Z} \\ & + [\frac{1}{R^2} K_{\theta Z \theta Z} F_{ZZ}^2 \frac{\partial^2}{\partial \theta^2} + (\sigma_{zz} + K_{zzzz} F_{zz}^2) \frac{\partial^2}{\partial Z^2}] \dot{U}_Z = 0 \\ & \frac{1}{R} K_{\theta\theta ZZ} F_{\theta\theta} F_{ZZ} \frac{\partial \dot{U}_R}{\partial Z} + \frac{1}{R} (K_{\theta\theta ZZ} + K_{\theta Z \theta Z}) F_{\theta\theta} F_{ZZ} \frac{\partial^2 \dot{U}_\theta}{\partial \theta \partial Z} \\ & + [\frac{1}{R^2} K_{\theta Z \theta Z} F_{ZZ}^2 \frac{\partial^2}{\partial \theta^2} + (\sigma_{zz} + K_{zzzz} F_{zz}^2) \frac{\partial^2}{\partial Z^2}] \dot{U}_Z = 0 \end{aligned}$$

در جداره نانوتبوب، با توجه به بارگذاری کششی ساده، برش صفر است. به علاوه در دو انتهای آن، تغییر شکل نیز صفر است. این شرایط حدی در دو انتهای به صورت رابطه شماره ۶ نوشته می‌شود.

$$\dot{U}_Z = \frac{\partial \dot{U}_z}{\partial Z} = \frac{\partial \dot{U}_\theta}{\partial Z} = 0, (Z=0, z=L) \quad (6)$$

حل معادلات دیفرانسیل همگن شماره ۵ با در نظر گرفتن شرایط حدی شماره ۶ منجر به یافتن تغییرات تغییر مکان \dot{U} می‌شود. حل این معادله به دو نوع جواب متقارن و غیر متقارن منجر می‌شود. جوابهای متقارن با روابط منجر می‌شود. $\dot{U}_R(Z), \dot{U}_\theta = 0, \dot{U}_Z = \dot{U}_z(Z)$ تغییر متقارن است. در حل نامتقارن، علاوه بر محدودیتهای حل متقارن، شرط $\dot{U}_\theta \neq 0$ نیز برقرار است. در صورت فرض جوابهای متقارن برای تغییر مکانها، معادلات شماره ۴ به صورت معادلات شماره ۷ کاهش و تغییر می‌یابد.

$$\begin{aligned} & (\sigma_{zz} \frac{\partial^2}{\partial Z^2} - \frac{1}{R^2} K_{\theta\theta\theta\theta} F_{\theta\theta}^2) \dot{U}_R - \frac{1}{R} K_{\theta\theta ZZ} F_{\theta\theta} F_{ZZ} \frac{\partial \dot{U}_Z}{\partial Z} = 0 \\ & (\sigma_{zz} + K_{zzzz} F_{zz}^2) \frac{\partial^2 \dot{U}_z}{\partial Z^2} + \frac{1}{R} K_{\theta\theta ZZ} F_{\theta\theta} F_{ZZ} \frac{\partial \dot{U}_z}{\partial Z} = 0 \quad (7) \end{aligned}$$

حل معادله دیفرانسیل شماره ۷، به تغییر مکانهای نشان داده شده در رابطه ۸ می‌انجامد.

$$[\dot{U}_R, \dot{U}_Z] = [\dot{U}_{Rm} \cos \frac{m\pi Z}{L}, \dot{U}_{Zm} \sin \frac{m\pi Z}{L}] \quad (8)$$

پس از انجام عملیات ریاضی و ساده سازی، رابطه شماره ۹ بدست می‌آید:

$$C_{\theta\theta\theta\theta} (C_{zzzz} + \frac{\sigma_{zz}}{F_{zz}^2}) - C^2 \theta\theta ZZ + \frac{\sigma_{zz}}{F_{\theta\theta}^2} (C_{zzzz} + \frac{\sigma_{zz}}{F_{zz}^2}) (\frac{m\pi R}{L})^2 = 0 \quad (9)$$

این معادله به همراه شرط $\sigma_{\theta\theta} = 0$ در معادله تعادل، دو معادله برای کرنشهای حدی $\epsilon_{\theta\theta}, \epsilon_{zz}$ مقداری ویژه رابطه ۹ بدست می‌دهد. با توجه به روابط یاد شده و با استفاده از نرم

۴-۱- مدلسازی رفتار غیر الاستیک به روش تحلیلی

برای مدلسازی رفتار غیر الاستیک نانوتبوبها به روش تحلیلی، برای ساختار داخلی (شامل هندسه و زاویه های اتصال اتمهای کربن)، سیستم مختصات محلی در نظر گرفته شده سپس با تعریفتابع پتانسیل مناسب، تغییرات انرژی سیستم اتمی در حین تغییر شکل بدست می‌آید. با تبدیل این انرژی در سیستم گستته به سیستم پیوسته بر اساس قانون کوشی-بورن و اعمال شرایط تعادل و حداقل بودن انرژی، پارامترهای مدل رفتار الاستیک محاسبه می‌شود. در گام بعد با اعمال روابط تعادل و اعمال شرایط مرزی، شرط وقوع کرنشهای غیر الاستیک کنترل می‌شود.

در رفتار الاستیک، کرنشها و مشتقهای آن متعادل بوده و مولفه های تنفس نیز با استفاده از روابط پیولا-کیرشهف به صورت رابطه شماره ۱، از تابع پتانسیل انرژی با توجه به شرایط حدی و شرایط تعادل بدست می‌آیند.

$$\begin{aligned} \sigma_{\theta\theta} &= \frac{\partial W}{\partial \epsilon_{\theta\theta}} = 0 \\ \sigma_{zz} &= \frac{\partial W}{\partial \epsilon_{zz}} \end{aligned} \quad (1)$$

هنگامی که کرنش به حد غیر الاستیک می‌رسد، دیگر فرضیات یکنواخت بودن کرنش و تابع گرادیان تغییر شکل برقرار نبوده و مشتقهای آن صفر نیستند. این مشتقهای با استفاده از دستگاه مختصات استوانه ای به صورت رابطه شماره ۲ نوشته می‌شوند:

$$\begin{aligned} F_{R\theta} &= \frac{1}{R} \frac{\partial u_R}{\partial \theta} - \frac{u_\theta}{R} & F_{\theta\theta} &= \frac{u_R}{R} + \frac{1}{R} \frac{\partial U_\theta}{\partial \theta} \\ F_{Z\theta} &= \frac{1}{R} \frac{\partial u_Z}{\partial \theta} & F_{RZ} &= \frac{\partial u_R}{\partial Z} \\ F_{RZ} &= \frac{\partial u_\theta}{\partial Z} & F_{ZZ} &= \frac{\partial u_Z}{\partial Z} \end{aligned} \quad (2)$$

در این حالت، تغییرات مولفه های غیر صفر کرنش به صورت رابطه شماره ۳ محاسبه می‌شود:

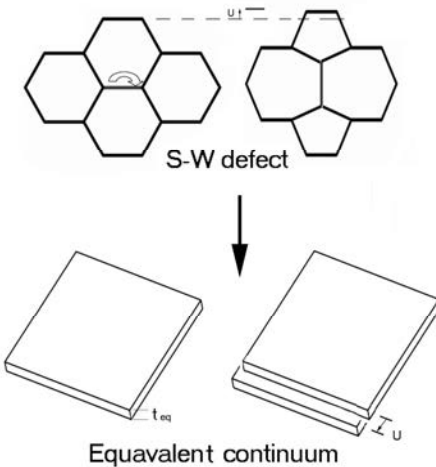
$$\begin{aligned} \dot{\epsilon}_{\theta\theta} &= F_{\theta\theta} \cdot \dot{F}_{\theta\theta}, \dot{\epsilon}_{zz} = F_{ZZ} \cdot \dot{F}_{ZZ} \\ \dot{\epsilon}_{Z\theta} &= \dot{\epsilon}_{Z\theta} = \frac{1}{2} (F_{\theta\theta} \dot{F}_{\theta Z} + F_{ZZ} \dot{F}_{Z\theta}) \end{aligned} \quad (3)$$

به علاوه تغییرات تنفس از روابط شماره ۴ محاسبه می‌شوند.

$$\begin{aligned} \dot{\sigma}_{\theta\theta} &= K_{\theta\theta\theta\theta} \dot{\epsilon}_{\theta\theta} + K_{\theta\theta ZZ} \dot{\epsilon}_{ZZ} \\ \dot{\sigma}_{zz} &= K_{ZZ\theta\theta} \dot{\epsilon}_{\theta\theta} + K_{zzzz} \dot{\epsilon}_{zz} \\ \dot{\sigma}_{\theta Z} &= \dot{\sigma}_{\theta Z} = 2 K_{Z\theta Z\theta} \dot{\epsilon}_{\theta Z} \end{aligned} \quad (4)$$

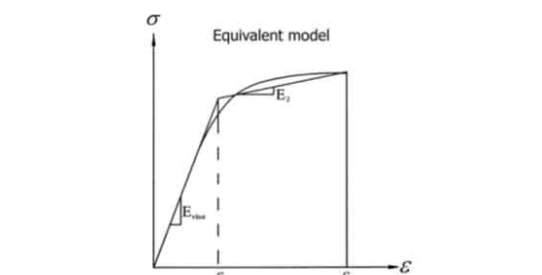
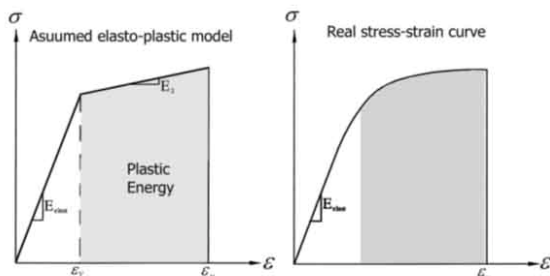
با جایگذاری روابط تنفس، کرنش و نیز تابع گرادیان تغییر





شکل ۴: مفهوم تغییر مکان پلاستیک معادل در شبکه اتمی

در مدل الاستو-پلاستیک ایده آل رفتار تا کرنش تسلیم کاملاً الاستیک فرض شده و در ورای این کرنش رفتار پلاستیک فرض می‌شود. این رفتار در شکل شماره ۵ و رابطه شماره ۱۱ نشان داده شده است.

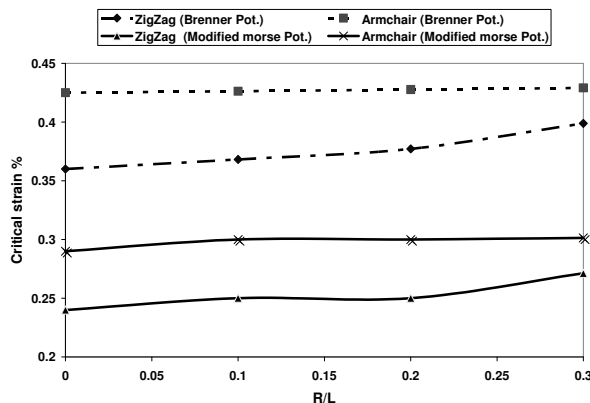


شکل ۵: (بالا-چپ) منحنی تنش-کرنش در مدل الاستو-پلاستیک (بالا راست) منحنی رفتاری واقعی نانوتیوب ایده آل (پایین) تلفیق دو مدل برای یافتن پارامترها

$$\sigma(\epsilon) = \begin{cases} E_{elast}\epsilon & \text{for } \epsilon \leq \epsilon_y \\ E_2\epsilon_y & \text{for } \epsilon > \epsilon_y \end{cases} \quad (11)$$

بر اساس شکل شماره ۵، سطح زیر منحنی در قسمت بعد از کرنش حدی نمایانگر انرژی پلاستیک (غیر الاستیک) مورد نیاز

افزار MATLAB، این معادلات دیفرانسیل برای جوابهای همگن تابع پتانسیل تغییر یافته مورس حل شده است که نتایج آن به صورت خلاصه در شکل شماره ۳ ارائه شده است. بر اساس این نتایج، کرنش حدی الاستیک محاسبه شده با نتایج با کار ژانگ ۲۰۰۴ (که از تابع پتانسیل برنر استفاده کرده است) مقایسه شده است [۱۲]. بر اساس این شکل دیده شد که کرنش نهایی در کشش با استفاده از توابع پتانسیل و در انواع جداره نانوتیوبها مختلف تقاضت دارد.



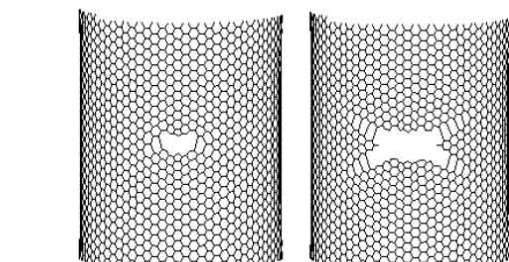
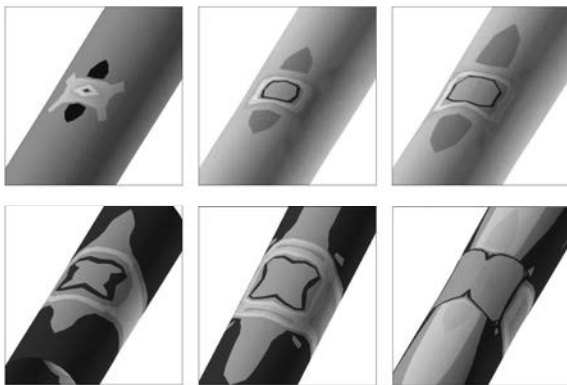
شکل ۶: کرنش نهایی (بحرانی) دو نوع نانوتیوب که توسط تابع پتانسیل تغییر یافته مورس و برنر محاسبه شده و با کار ژانگ [۱۲] مقایسه شده است.

۴-۲- مدل رفتاری الاستو-پلاستیک

مدلهای رفتاری با در نظر گرفتن چند عامل اساسی به نمایندگی تمامی عوامل موثر می‌توانند قوانین حاکم بر رفتار مواد را به صورت منظم و با دقت معینی نشان دهند. با توجه به نتایج آزمایشات انجام شده بر روی نانوتیوبها و نانوکامپوزیتها دو مدل (۱) الاستو-پلاستیک و (۲) مدل تغییرات کرنش می‌توانند تا حدی رفتار غیر الاستیک نانوتیوبها را بیان کنند. با توجه به سادگی و داشتن امکانات زیاد، در این مقاله برای مدلسازی رفتار غیر الاستیک نانوتیوب از مدل الاستو-پلاستیک استفاده شده است. برای تبیین این مدل، در شکل شماره ۴، مفهوم تغییر مکانهای پلاستیک در ساختار اتمی و مدل ساده الاستوپلاستیک نشان داده شده است.

در شکل شماره ۷ نیز، چگونگی ایجاد و گسترش ناحیه پلاستیک در مدل نشان داده شده است. ناحیه مشخص شده در این شکل، نواحی هستند که در آنها کرنشهای غیر الاستیک بزرگ رخ داده و رفتار الاستیک نیست. بر اساس شکل ۷ با افزایش بارگذاری، ابعاد ناحیه غیر الاستیک بزرگتر می‌شود. همچنین در این تصویر، چگونگی این گسترش با نتایج حاصل از دینامیک مولکولی بلیچکو مقایسه شده است.

بر اساس این شکل، مدل الاستوپلاستیک در تخمین ابعاد ناحیه غیر الاستیک و فرم گسترش آن نیز جوابهای مناسبی را بدست می‌دهد.



شکل ۷: (شش تصویر بالا) شبیه سازی چگونگی ایجاد و گسترش ناحیه پلاستیک در نانوتیوب توسط مدل الاستوپلاستیک بوسیله روش اجزای محدود. (دو تصویر پایین) نتایج مدلسازی رفتار نهایی نانوتیوب در کشش به روش دینامیک مولکولی بلیچکو [۱۱]

۵- نتیجه گیری

در این مقاله چگونگی بروز رفتار غیر الاستیک در نانوتیوبها و شیوه های مدلسازی آن در قالب مکانیک محیط پیوسته به دو روش تحلیلی و عددی بر پایه مدل الاستوپلاستیک بررسی شد. بر اساس نتایج نشان داده شده مشخص گردید که نتایج روش تحلیلی با نتایج دقیق آزمایشگاهی تقاضت زیادی داشته و نیازمند تحقیق بیشتر برای سازگاری بهتر با نتایج است.

برای ایجاد رفتار غیر الاستیک می‌باشد که میزان این انرژی با در نظر گرفتن شکل شماره ۵، به صورت رابطه شماره ۱۲ تعریف می‌گردد.

$$\Pi_{plastic} = t_{eq} \cdot [(\varepsilon - \varepsilon_y) * \sigma_y + \frac{1}{2} E_2 \cdot (\varepsilon - \varepsilon_y)^2] \quad (12)$$

این انرژی در مدل برابر با انرژی مورد نیاز برای ایجاد عیب استون-والس در ناحیه متضاد در نظر گرفته شده است و به این روش، مدول پلاستیک E_2 بدست می‌آید.

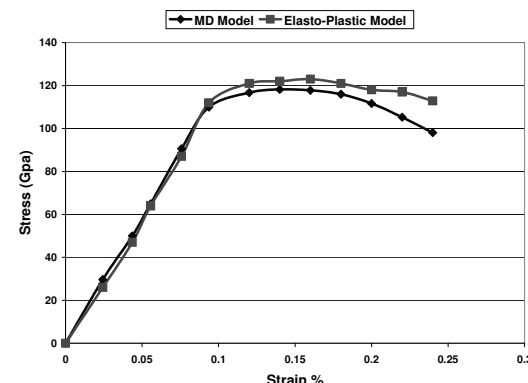
نکته مهم در این روش، کرنش شروع رفتار پلاستیک است که کرنش شروع تسیلم هشت درصد فرض شده است. با استفاده از این پارامترها و یکسان قرار دادن انرژی غیر الاستیک در ورای کرنش پلاستیک، می‌توان شبیب دوم منحنی رفتار E_2 را به صورت رابطه ۱۳ بدست آورد.

$$\begin{aligned} \Pi_{W-V} &= 5.5ev \\ E_2 &= 2.37Tpa \end{aligned} \quad (13)$$

با استفاده از این روابط، کشش ساده نانوتیوب تک جداره به کمک روش اجزای محدود شبیه سازی شده است. در این مدل، جداره نانوتیوب به صورت پوسته جدار نازک با مشخصات رابطه ۱۴ شبیه سازی شده است که در یک سر تغییر مکانهای آن محدود شده و در سوی دیگر، بارهای کششی به آن اعمال می‌گردد.

$$\begin{aligned} E_{elast} &= 5.5Tpa \\ t_{eq} &= 0.066nm \end{aligned} \quad (14)$$

بارگذاری تا مرحله گسیختگی به صورت استاتیکی به مدل اجزای محدود اعمال شده است. برای آغاز رفتار غیر الاستیک یک عیب کوچک در جداره ایجاد شده است تا محل آغاز رفتار غیر الاستیک باشد. منحنی نتش-کرنش این مدلسازی با نتایج حاصل از مدلسازی دینامیک مولکولی مقایسه شده و در شکل شماره ۶ ارائه شده است.



شکل ۶: مقایسه نتایج مدلسازی بوسیله مدل الاستو-پلاستیک و مدلسازی دینامیک مولکولی در نانوتیوب (۹۰) [۱۸]

۶- تقدیر و تشکر

نویسنده‌گان مقاله حاضر بر خود لازم می‌دانند که از کمکهای جناب آقای پروفسور رفیعی تبار ریاست محترم پژوهشکده نانو و از چهره‌های ماندگار قدردانی نمایند.

در مدل الاستو-پلاستیک بر اساس نتایج ارائه شده، دیده شد که با استفاده از این مدل‌سازی می‌توان با دقت مناسب، شرایط آغاز و گسترش رفتار غیر الاستیک را شبیه سازی نمود. اما با مقایسه نتایج دیده می‌شود که برابری نتایج این مدل با آزمایشات عددی در کرنشهای زیاد کاهش می‌یابد و سختی سازه نانو را بیش از میزان واقعی برآورد می‌کند.

۷- مراجع

- | | | | |
|---|------|--|-----|
| Zhao Q.; Nardelli M. B.; Bernholc J.; "Ultimate strength of carbon nanotubes: A theoretical study ", Physics Review B, vol. 65, p.p 144105-144110, 2002. | [۹] | Tomanek D.; Enbody R.J.; Science and Applications of Nanotubes, 1st edition, Kluwer Academic, 2000. | [۱] |
| Nardelli M. B.; Yakobson B. I.; Bernholc J.; "Mechanism of strain release in carbon nanotubes"; Physics Review, B, vol. 57, p.p. 4277-80,1998. | [۱۰] | Srivastava, D.; Menon, M.; Cho, K.J.; "Computational nanotechnology with carbon nanotubes and fullerenes", Computational Science Engineering, no 4, vol. 3, p.p. 42-55, 2001. | [۲] |
| Belytschko T.; Xiao S. P.; Schatz G. C.; Ruoff R. S.; "Atomistic simulations of nanotube fracture" Physics Review B, vol. 65, p.p. 2354301- 8, 2002, | [۱۱] | Bower C.; Rosen R.; Jin L.; Han J.; Zhou O.; "Deformation of carbon nanotubes in nanotube-polymer composites", Applied Physics Letter, No 22, vol. 74, p.p. 3317-3319, 1999. | [۳] |
| Zhang P.; Jiang H.; Huang Y.; "An atomistic-based continuum theory for carbon nanotubes: analysis of fracture nucleation", Journal of the Mechanics and Physics of Solids, vol. 52, p.p. 977-998, 1999. | [۱۲] | Nardelli M. B.; Yakobson B. I.; Bernholc J.; "Brittle and Ductile Behavior in Carbon Nanotubes", Physical Review Letter, no 21, vol. 81, p.p. 675-695,1998 | [۴] |
| Li Z.; Dharap P.; Sharma P.; Nagarajaiah S.; Yakobson B. I.; "Continuum field model of defect formation in carbon nanotubes", Journal of applied physics, 97, p.p. 743031-8, 2005. | [۱۳] | Ruoff R. S.; Calabri L.; Pugno M. N; "experimental test on fracture strength of nanotube", Reviews on advanced materials science, No 10, p.p. 110-117, 2005. | [۵] |
| Kuzumaki T.; Hayashi T.; Ichinose H.; Miyazawa K.; Ito K.; Ishida Y.; " In-situ observed deformation of carbon nanotubes", Philosophical Magazine , Vol. 77, NO. 6, p.p. 1461-1469, 1998. | [۱۴] | Yakobson B.I.; Brabec C.J.; Bernholc J.; "Structural mechanics of carbon nanotubes: From continuum elasticity to atomistic fracture", Journal of Computer-Aided Materials Design, no 3, p.p. 173-182, 1996 | [۶] |
| Makar j.; Margeson J.; "carbon nanotube/cement composites, early results and potential application", 3rd international conference of construction material, p.p. 1-10, 2005. | [۱۵] | Yakobson, B.I.; Brabec, C.J.; Bernholc, J.; "Nanomechanics of carbon tubes: instabilities beyond linear response". Physical Review Letters no 76, p.p. 2511-2514, 1996. | [۷] |
| | | Yakobson, B.I.; Campbell, M.P.; Brabec, C.J.; Bernholc, J.; "High strain rate fracture and C-chain unraveling in carbon nanotubes", Computational Material science, no 8, p.p. 341-348, 1997. | [۸] |